



基于第一性原理的粲重子

衰变常数计算

报告人：李磊毅

上海交通大学

目录

- 一、动机
- 二、粲重子衰变矩阵元计算
- 三、粲重子算符重整化
- 四、小结

一、动机

萨哈罗夫三条件： 1、重子数不守恒； 2、C与CP破坏； 3、热平衡的偏离。

重味重子的研究中，两体非轻衰变过程可以用来寻找CP破坏[1]

$$\Lambda_b^0 \rightarrow \Lambda_c^+ + h, (h = \pi, K) \quad (1)$$

半轻衰变过程[2]可以抽取CKM矩阵元Vcb:

$$\Lambda_b^0 \rightarrow \Lambda_c^+ l \bar{\nu} \quad (2)$$

形状因子是半轻衰变和非轻衰变的重要物理量：

$$\langle \Lambda_c | i\mathcal{A} | \Lambda_b \rangle \sim C \otimes T \otimes \underbrace{\langle \Lambda_c | O_{\Lambda_c} | 0 \rangle}_{f_{\Lambda_c} \phi_{\Lambda_c}} \otimes \langle 0 | O_{\Lambda_b} | \Lambda_b \rangle \quad (3)$$

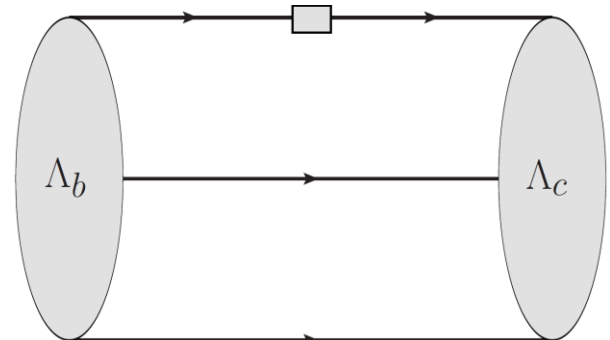


图1. $\Lambda_b^0 \rightarrow \Lambda_c^+$ 形状因子

形状因子正比于粲重子衰变常数：

$$\langle 0 | \epsilon_{ijk} (q_i^T C \Gamma_1 q_j) \Gamma_2 c_k | \mathcal{B}_c \rangle = f_{\mathcal{B}_c} m_{\mathcal{B}_c} u_{\mathcal{B}_c} \quad (4)$$

[1] R. Aaij et al. [LHCb], Phys. Rev. Lett. 133, [arXiv:2409.02759 [hep-ex]].

[2] R. Aaij et al. [LHCb], Phys. Rev. Lett. 128, no.19, 191803 (2022) [arXiv:2201.03497 [hep-ex]].

粲重子衰变常数主要由QCD求和规则计算[1-3], 精度在10%-20%

半轻衰变[4,5]: $\lambda_{\Lambda_c}^P = (1.19 \pm 0.19) \times 10^{-2} \text{ GeV}^2$ $Br(\Lambda_b \rightarrow \Lambda_c \ell \nu) = 6.2^{+1.4\%}_{-1.3\%}$,
 $f_{\Omega_c} = (0.093 \pm 0.023) \text{ GeV}^3$ $Br(\Omega_c^0 \rightarrow \Xi^- l^+ \nu_l) = (3.06 \pm 0.15) \times 10^{-3}$. (5)

两体衰变 [6]:

TABLE IV: Various theoretical results on the branching ratios for two-body decays.

Mode	This work	[86]	[13] ^a	[87, 88] ^a
$\mathcal{B}(\Lambda_b \rightarrow \Lambda_c \pi)$	$6.7^{+3.2+0.3+2.5}_{-2.2-2.8-1.3}$	$4.6^{+2.0}_{-3.1}$	4.5	5.6
$\mathcal{B}(\Lambda_b \rightarrow \Lambda_c K)$	$0.5^{+0.3+0.0+0.2}_{-0.2-0.2-0.1}$
$\alpha(\Lambda_b \rightarrow \Lambda_c \pi)$	-99.2	-100	-99	-99
$\alpha(\Lambda_b \rightarrow \Lambda_c K)$	-98.2

^aWe estimate the branching ratio by multiplying the

表1. 文献[2]中两体衰变分支比

格点计算优点: **准确性, 精确性, 预期精度是5%左右。**

- 【1】 Z. G.Wang, Phys. Lett. B 685, 59-66 (2010) [arXiv:0912.1648 [hep-ph]].
- 【2】 A. Khodjamirian, C.Klein, T.Mannel and Y.M.Wang, JHEP 09, 106 (2011) [arXiv:1108.2971 [hep-ph]].
- 【3】 Y.J.Shi, W.Wang and Z. X.Zhao, Eur. Phys. J. C 80, no.6, 568 (2020) [arXiv:1902.01092 [hep-ph]].
- 【4】 Y.Miao, H.Deng, K.S.Huang, J.Gao and Y.L.Shen, Chin. Phys. C 46, no.11, 113107 (2022) [arXiv:2206.12189 [hep-ph]].
- 【5】 H. H.Duan, Y.L.Liu and M. Q.Huang, Eur. Phys. J. C 81, no.2, 168 (2021) [arXiv:2010.16176 [hep-ph]].
- 【6】 C. Q.Zhang, J. M. Li, M. K. Jia and Z. Rui, Phys. Rev. D 105, no.7, 073005 (2022) [arXiv:2202.09181 [hep-ph]].

影响分支比和CP破坏的精度,
新物理的间接寻找

二、粲重子衰变矩阵元计算

格点中计算的两点关联函数:

$$C_{2pt}(t) = \int d^3x e^{-i\vec{x} \cdot \vec{p}} \langle 0 | O(x), \bar{O}(0) | 0 \rangle \quad (6)$$

插入强子完备基:

$$1 = \int \frac{d^3\vec{p}}{(2\pi)^3} \frac{|n(p)\rangle\langle n(p)|}{2E_n} \quad (7)$$

根据衰变常数的定义:

$$\langle 0 | O(x) | \mathcal{B}_c(p) \rangle = e^{-ix \cdot p} f_{\mathcal{B}_c} m_{\mathcal{B}_c} u(p) \quad (8)$$

强子层次的关联函数进行参数化:

$$C_{2pt}(t) T = 2m_{\mathcal{B}_c}^2 f_{\mathcal{B}_c}^2 e^{-m_{\mathcal{B}_c} \cdot t} (1 + \Delta C e^{-\Delta m \cdot t}) \quad (9)$$

两态拟合抽取衰变常数。

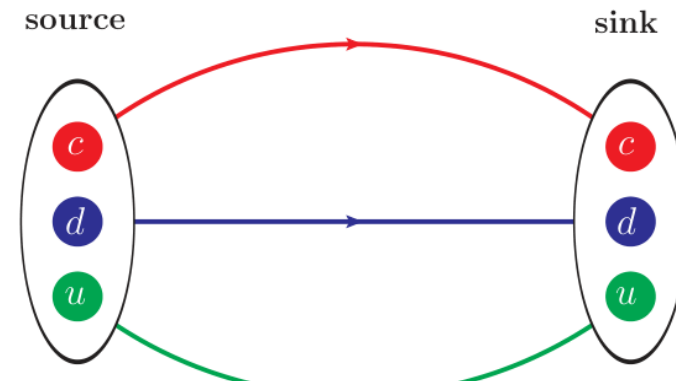


图2、夸克层次的两点关联函数

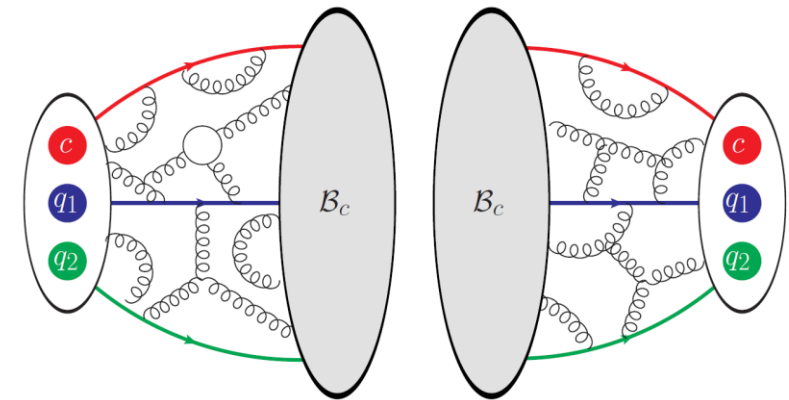


图3、强子层次的两点关联函数

1、粲重子算符构造

文献 [1] 通过di-quark的SU(2)对称性构造 $\Lambda_c^+(udc)$ 和 $\Sigma_c^+(udc)$ 算符

$$\bar{3} : \begin{cases} O_{\Lambda_c^+} = \epsilon_{ijk}(u_i^T C \gamma_5 d_j) P_+ c_k \\ O_{\Xi_c^+} = \epsilon_{ijk}(u_i^T C \gamma_5 s_j) P_+ c_k \\ O_{\Xi_c^0} = \epsilon_{ijk}(d_i^T C \gamma_5 s_j) P_+ c_k \end{cases} \quad \text{反对称} \quad (10)$$

$$6 : \begin{cases} O_{\Xi_c'^+} = \epsilon_{ijk}(u_i^T C \gamma_\mu s_j) P_+ \gamma^\mu \gamma_5 c_k \\ O_{\Xi_c'^0} = \epsilon_{ijk}(d_i^T C \gamma_\mu s_j) P_+ \gamma^\mu \gamma_5 c_k \\ O_{\Sigma_c^+} = \epsilon_{ijk}(u_i^T C \gamma_\mu d_j) P_+ \gamma^\mu \gamma_5 c_k \\ O_{\Sigma_c^0} = \epsilon_{ijk}(d_i^T C \gamma_\mu d_j) P_+ \gamma^\mu \gamma_5 c_k \\ O_{\Sigma_c^{++}} = \epsilon_{ijk}(u_i^T C \gamma_\mu u_j) P_+ \gamma^\mu \gamma_5 c_k \\ O_{\Omega_c^0} = \epsilon_{ijk}(s_i^T C \gamma_\mu s_j) P_+ \gamma^\mu \gamma_5 c_k \end{cases} \quad \text{对称} \quad (11)$$

推广到SU(3) 对称性 $3 \otimes 3 = \bar{3} \oplus 6$

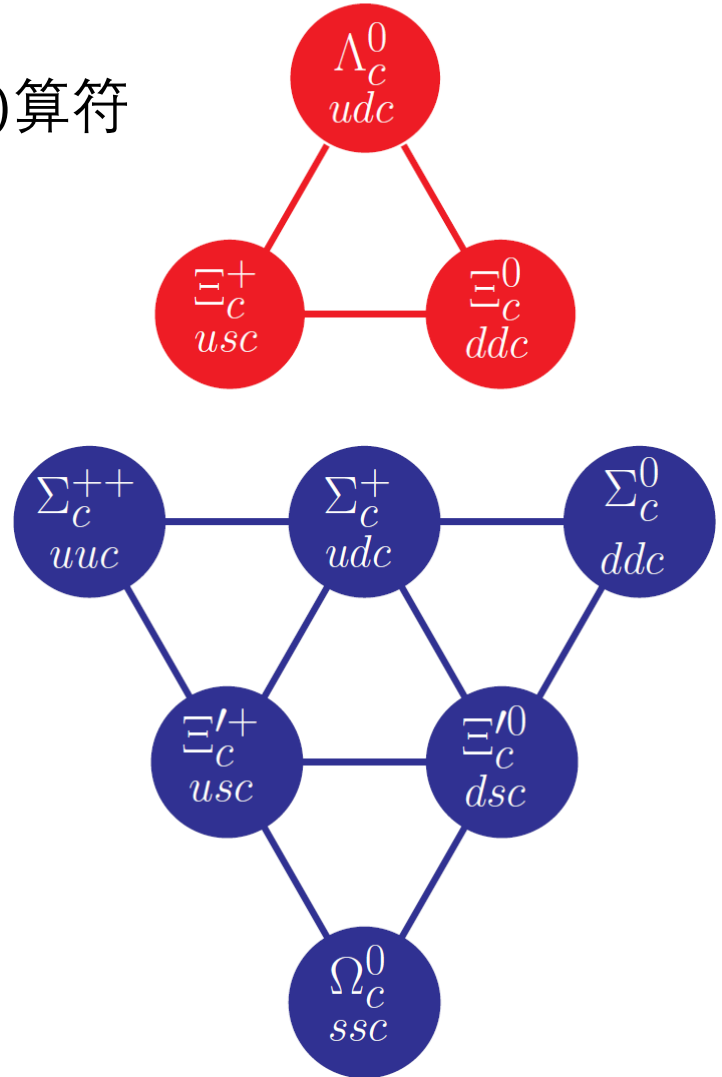


图4. 粲重子算符根据SU(3)对称性分类

Ξ_c 和 Ξ'_c 的差别在洛伦兹结构:

$$\Xi_c = \epsilon_{ijk} (l_i^T C \gamma_5 s_j) P_+ c_k, \quad (12)$$

$$\Xi'_c = \epsilon_{ijk} (l_i^T C \gamma_\mu \gamma_5 s_j) P_+ \gamma^\mu \gamma_5 c_k.$$

SU(3)对称性对算符的影响会体现在质量平台。

2、Source 测试

- 1、point to point；
- 2、smear to point/ (smear to smear)^{1/2}，需要去掉体积效应；
- 3、wall to point/(wall to wall)^{1/2}，需要去掉gauge fixing和体积效应；
- 4、wall to point，不做gauge fixing，需要去掉体积效应。

重子	组态	Source	N conf	$L^3 \times T$
$\Lambda_c(udc)$	C24P29	All type	20	$24^3 \times 72$

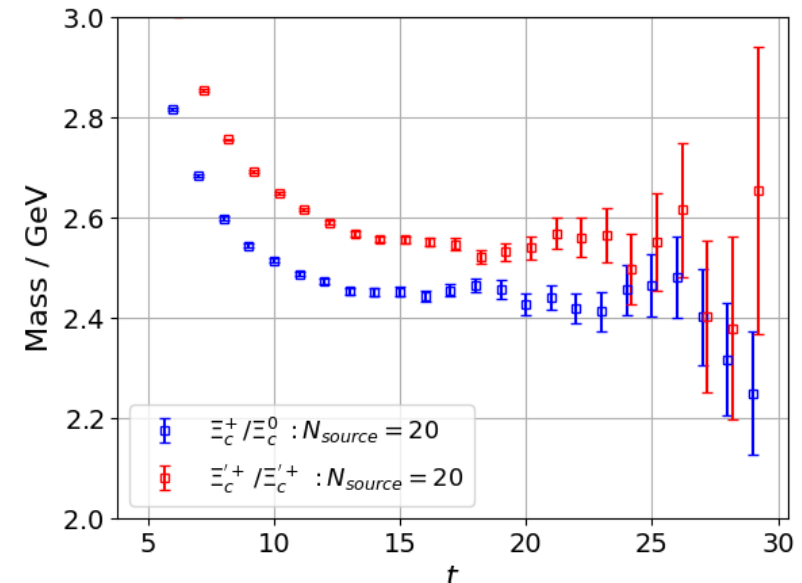


图5. Ξ_c 和 Ξ'_c 的有效质量图

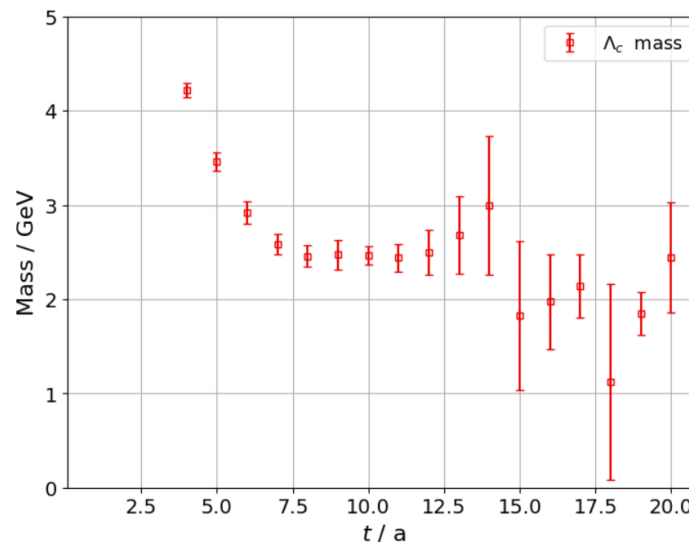


图6、point source to point sink

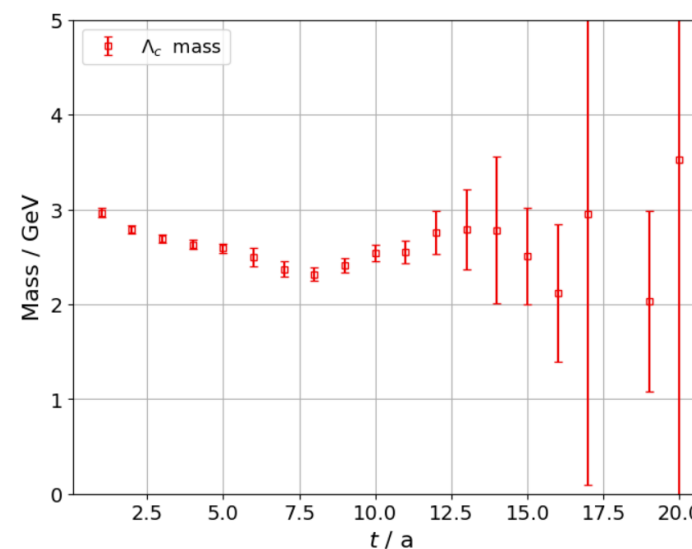
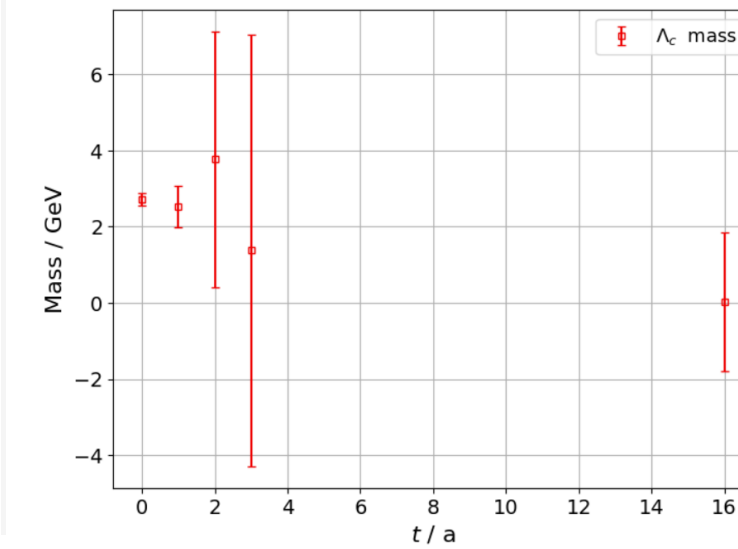


图7、smear source to point sink



+ 图8、smear source to smear sink

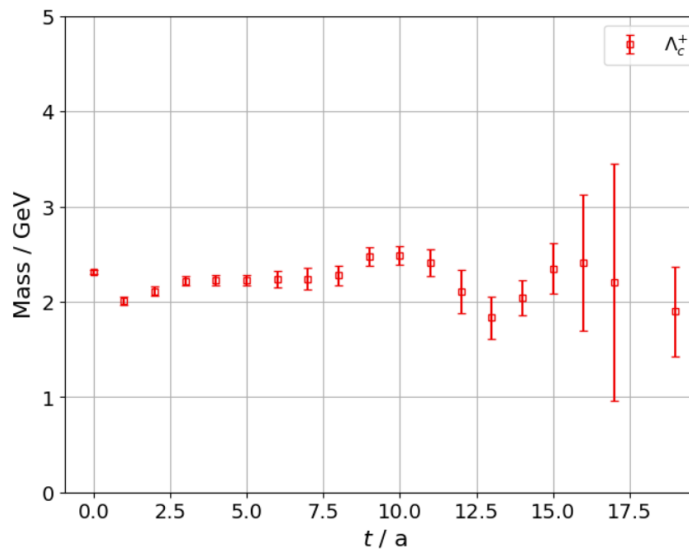


图9、wall source to point sink

选用 point source 进行计算

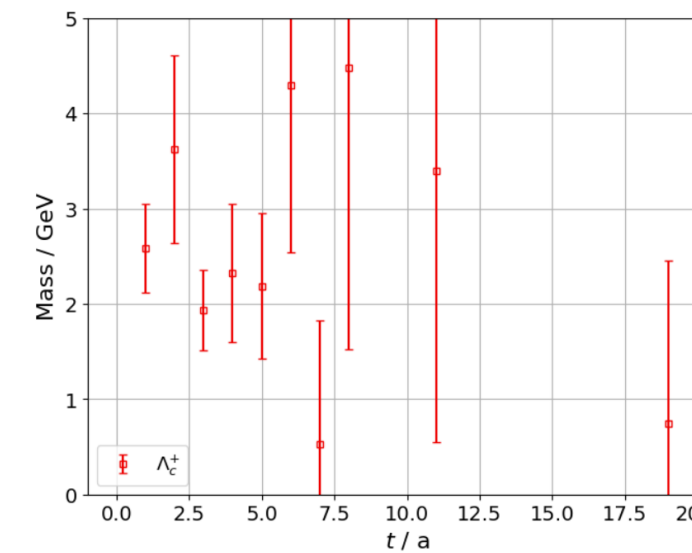


图10、wall source to wall sink

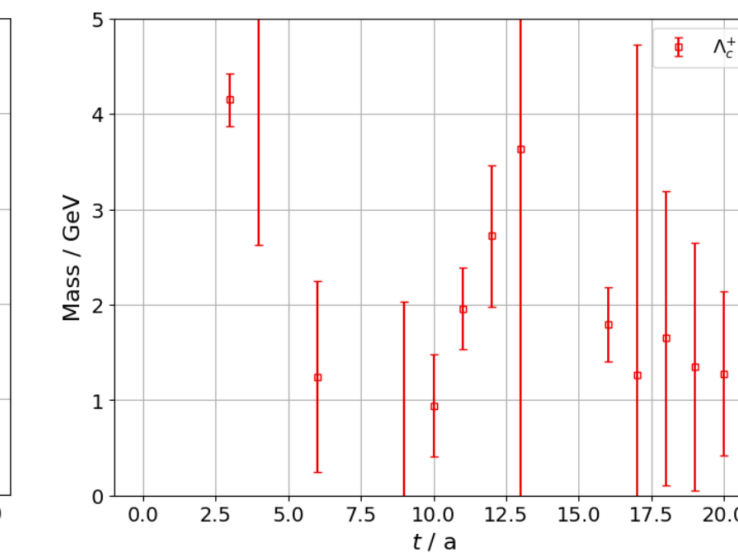


图11、wall source to point sink
不做gauge fixing

2、格点QCD对矩阵元的计算

两点关联函数是两个时空点的计算

$$C_{2pt}(t) = \int d^3x e^{-i\vec{x} \cdot \vec{p}} \langle 0 | O(x), \bar{O}(0) | 0 \rangle \quad (13)$$

与 point source 物理图像一致。

表2、CLQCD组态信息

Conf	$L^3 \times T$	a(fm)	Pion(MeV)	m_l	m_s	m_c	N_Conf	N_Src
C24P29	$24^3 \times 72$	0.105	290	-0.2770	-0.2357	0.4168	864	20
C32P29	$32^3 \times 64$	0.105	290	-0.2770	-0.2358	0.4158	984	16
C32P23	$32^3 \times 64$	0.105	230	-0.2790	-0.2338	0.4198	451	20
F32P30	$32^3 \times 96$	0.077	300	-0.2295	-0.2039	0.1968	777	20
H48P32	$48^3 \times 144$	0.052	320	-0.1850	-0.1703	0.0533	112	6

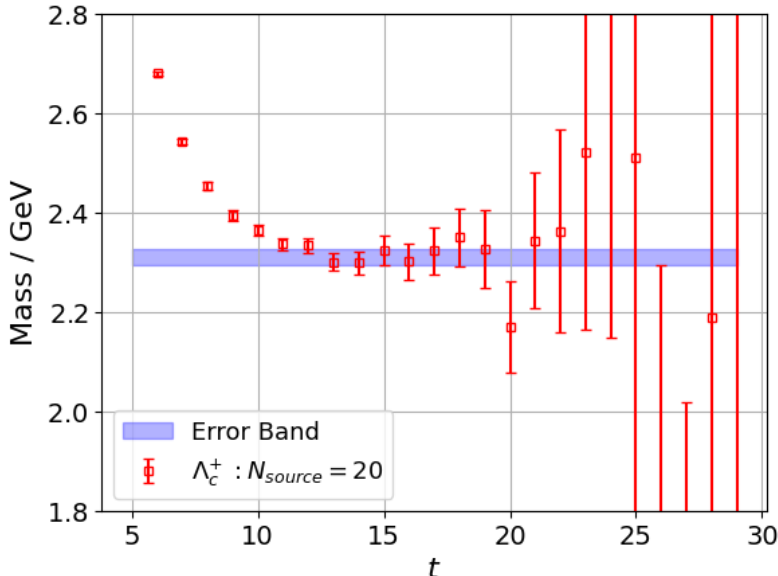


图12、 Λ_c^+ 重子有效质量

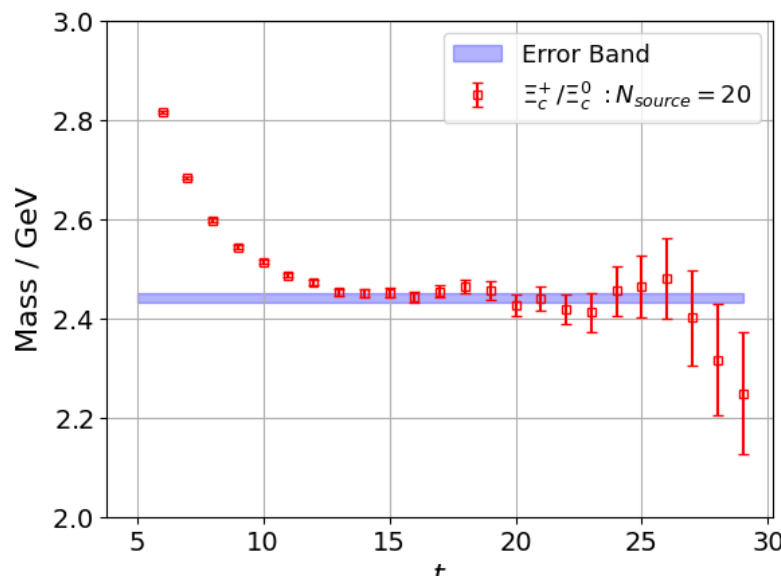


图13、 Ξ_c^+/Ξ_c^0 重子有效质量

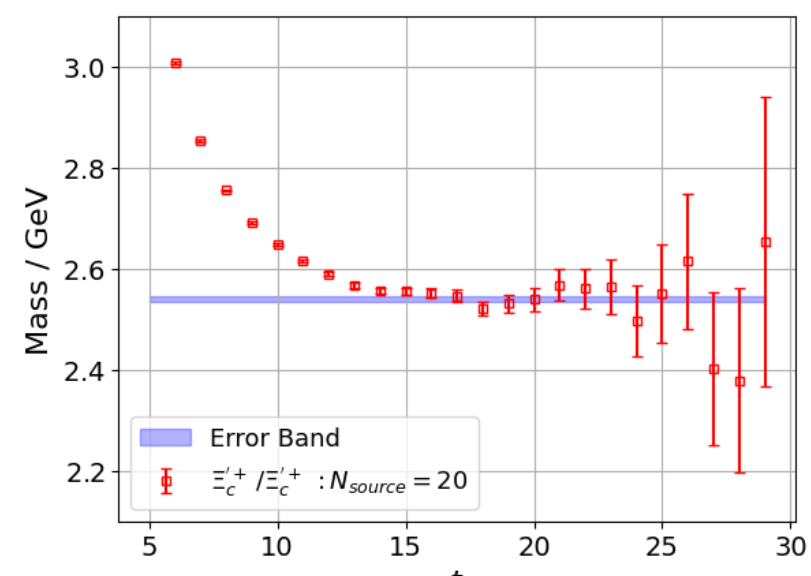


图14、 $\Xi_c'^+/\Xi_c'^0$ 重子有效质量

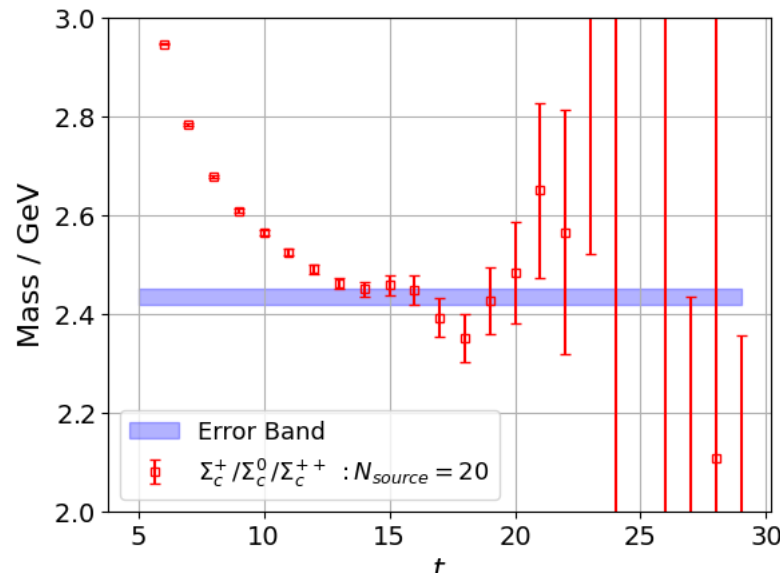


图15、 $\Sigma_c^+/\Sigma_c^0/\Sigma_c^{++}$ 重子有效质量

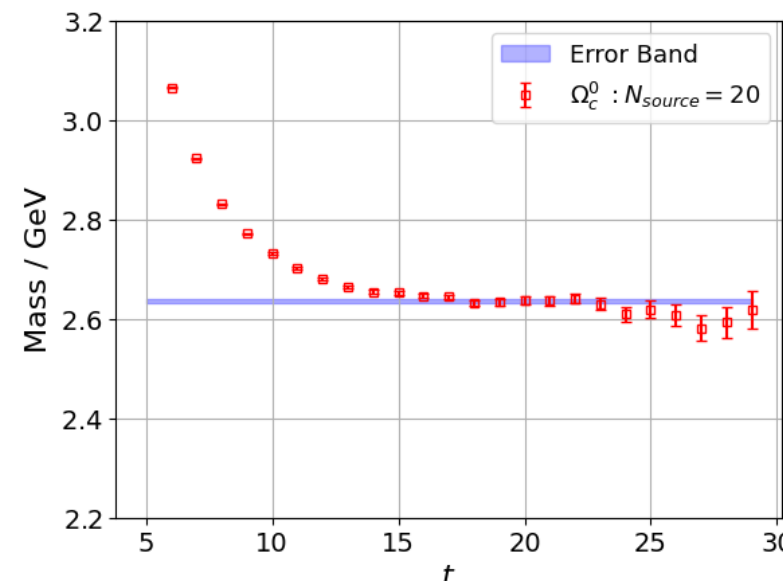


图16、 Ω_c^0 重子有效质量

C24P29
Ncfg=984
Nsrc=2×10

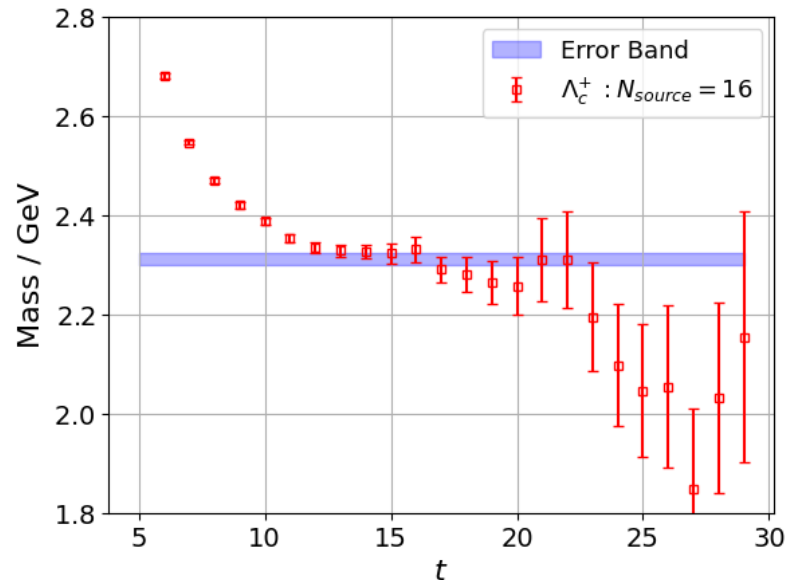


图17、 Λ_c^+ 重子有效质量

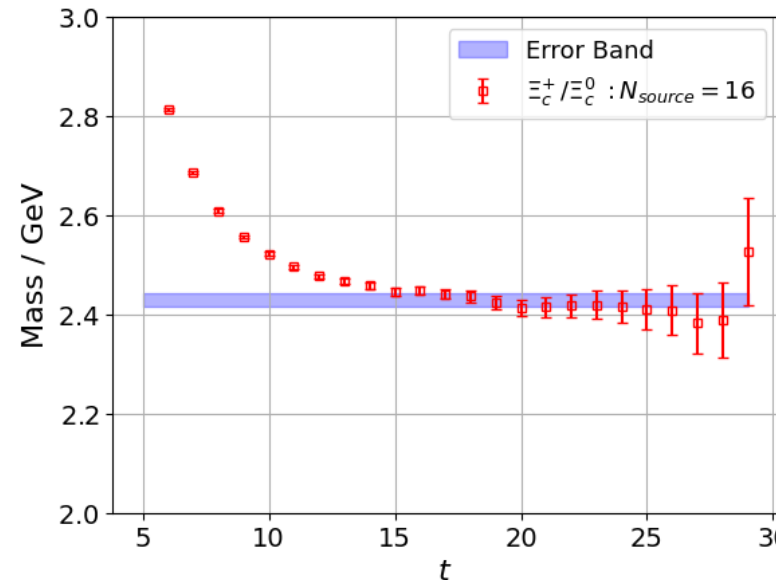


图18、 Ξ_c^+/Ξ_c^0 重子有效质量

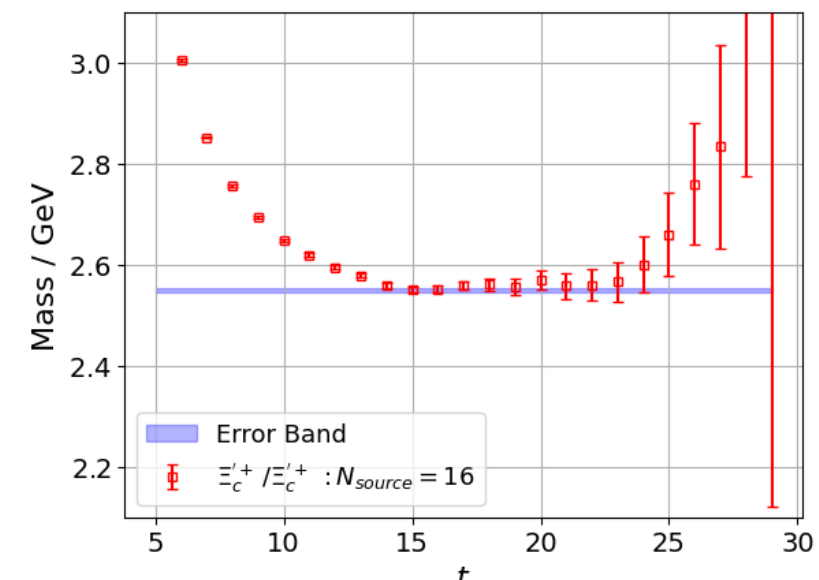


图19、 $\Xi_c'^+/\Xi_c'^0$ 重子有效质量

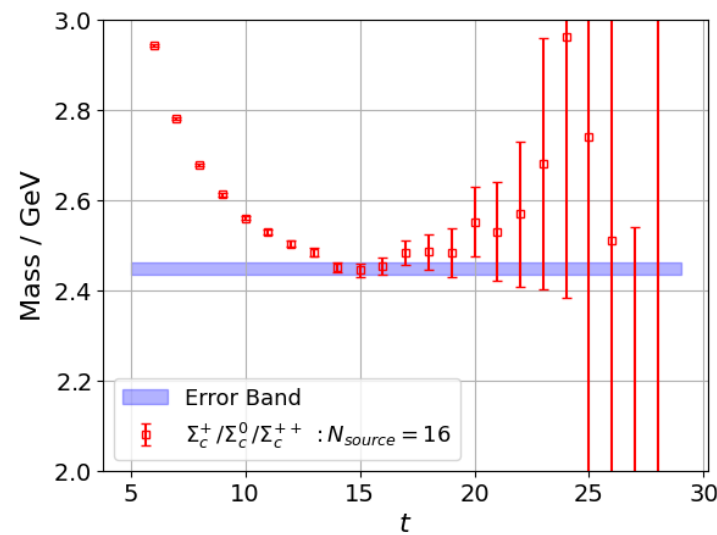


图20、 $\Sigma_c^+/\Sigma_c^0/\Sigma_c^{++}$ 重子有效质量

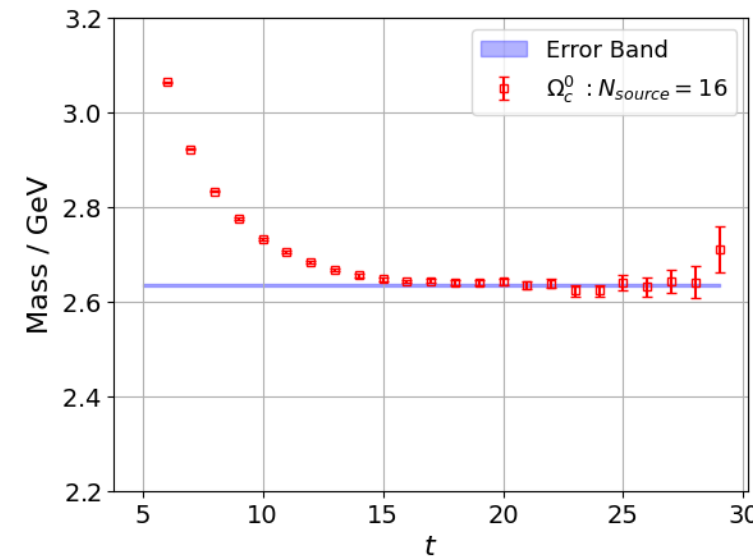


图21、 Ω_c^0 重子有效质量

C32P29
Ncfg=864
Nsrc=2×10

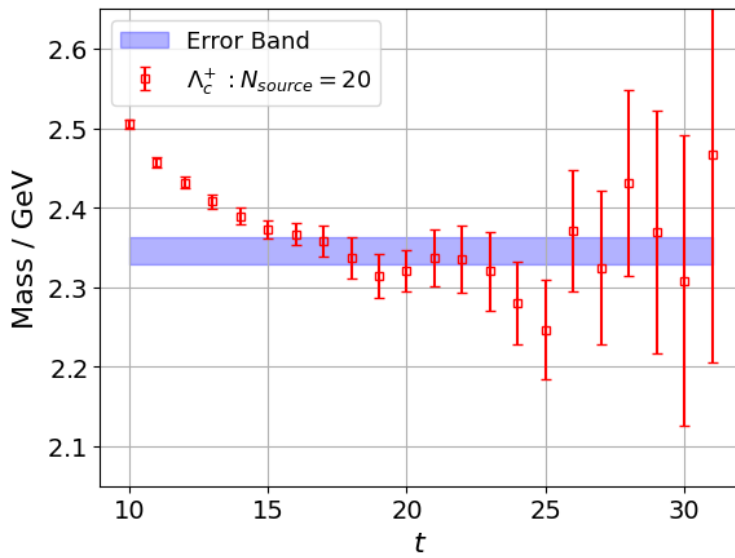


图22、 Λ_c^+ 重子有效质量

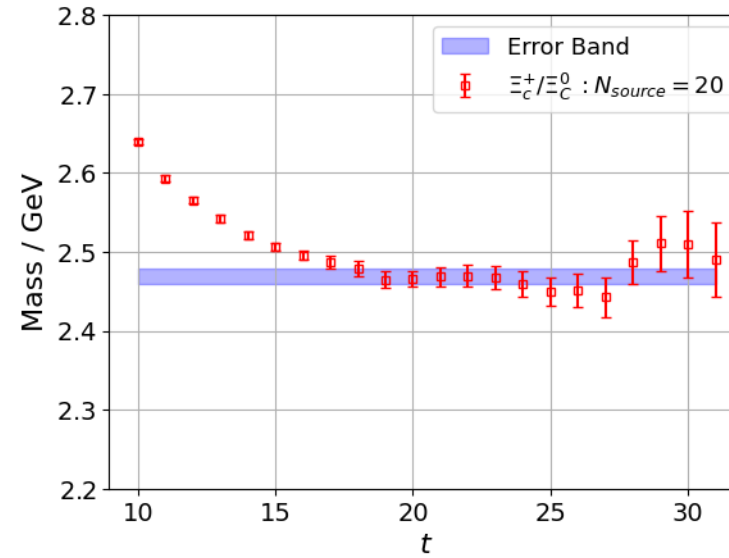


图23、 Ξ_c^+/Ξ_c^0 重子有效质量

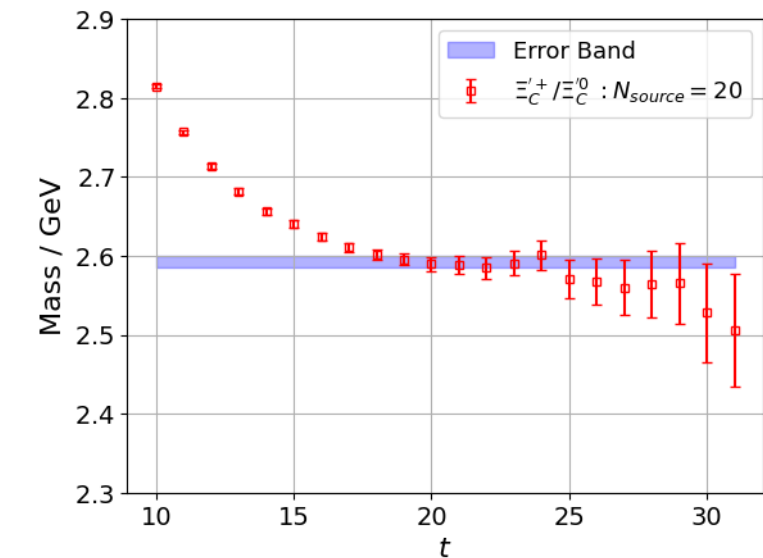


图24、 Ξ'_c^+/Ξ'_c^0 重子有效质量

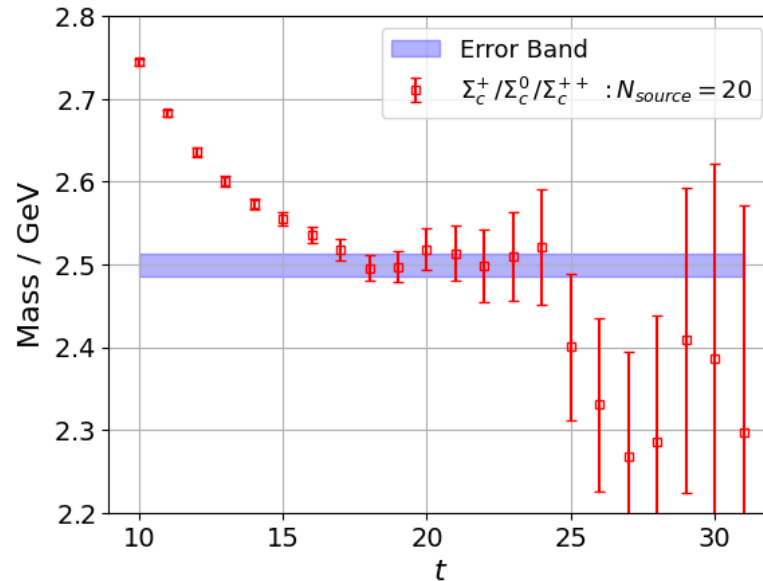


图25、 $\Sigma_c^+/\Sigma_c^0/\Sigma_c^{++}$ 重子有效质量

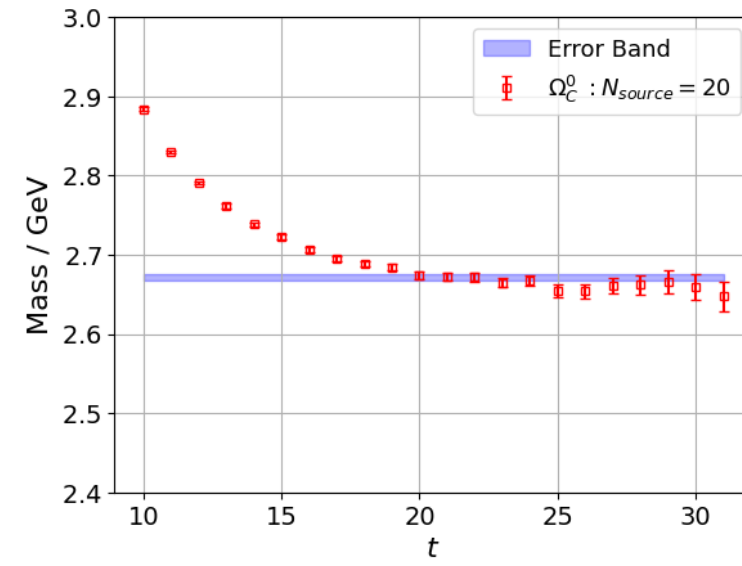


图26、 Ω_c^0 重子有效质量

F32P30
Ncfg=777
Nsrc=2×10

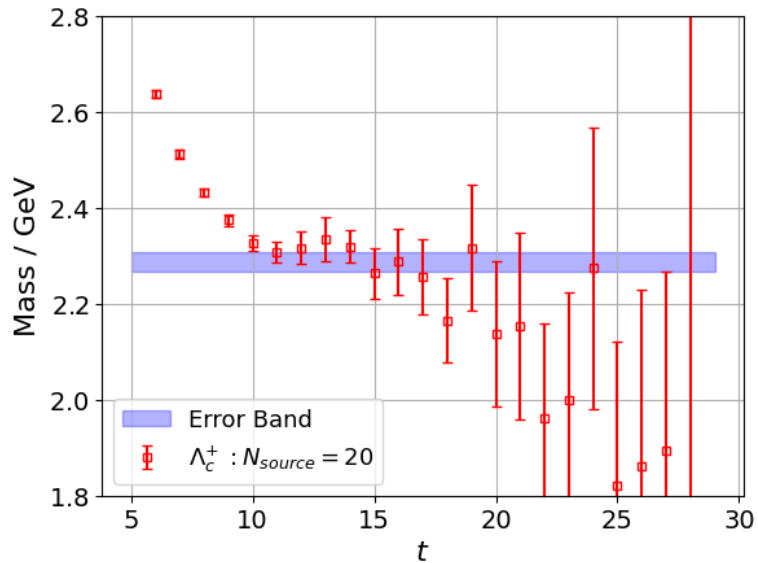


图27、 Λ_c^+ 重子有效质量

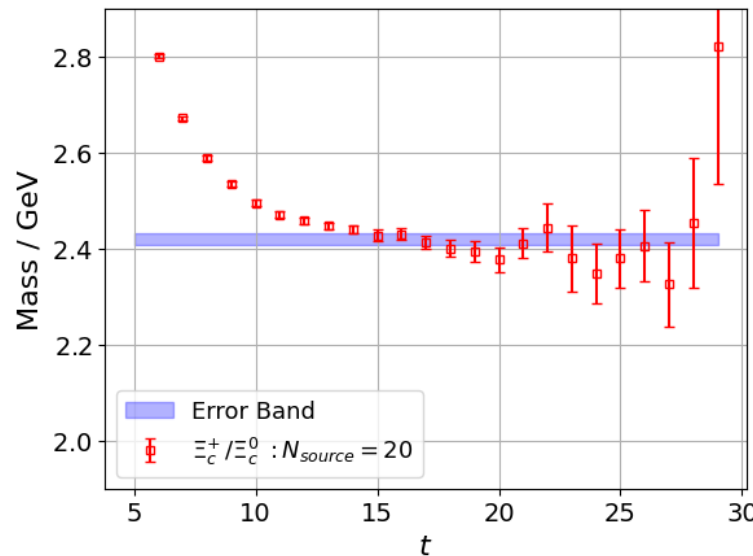


图28、 Ξ_c^+ / Ξ_c^0 重子有效质量

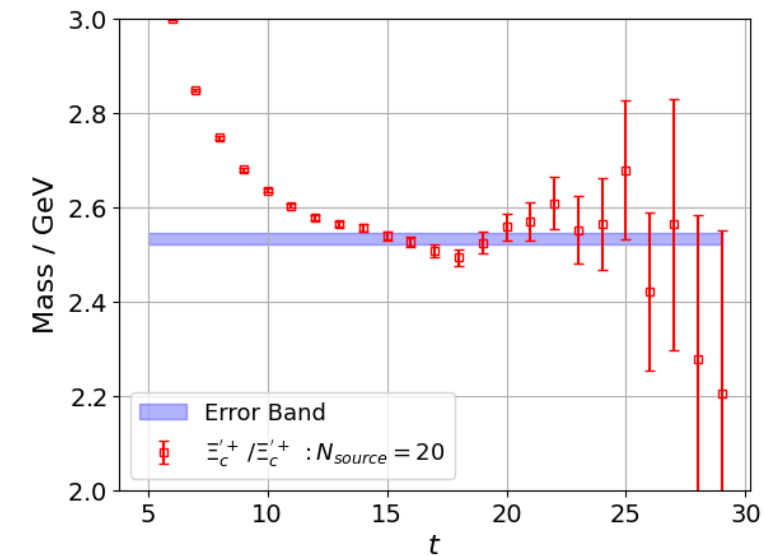


图29、 Ξ'_c^+ / Ξ'_c^0 重子有效质量

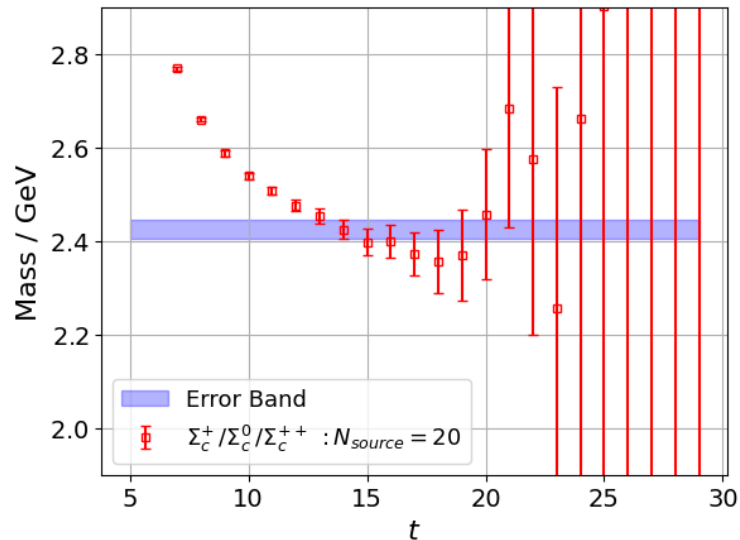


图30、 $\Sigma_c^+ / \Sigma_c^0 / \Sigma_c^{++}$ 重子有效质量

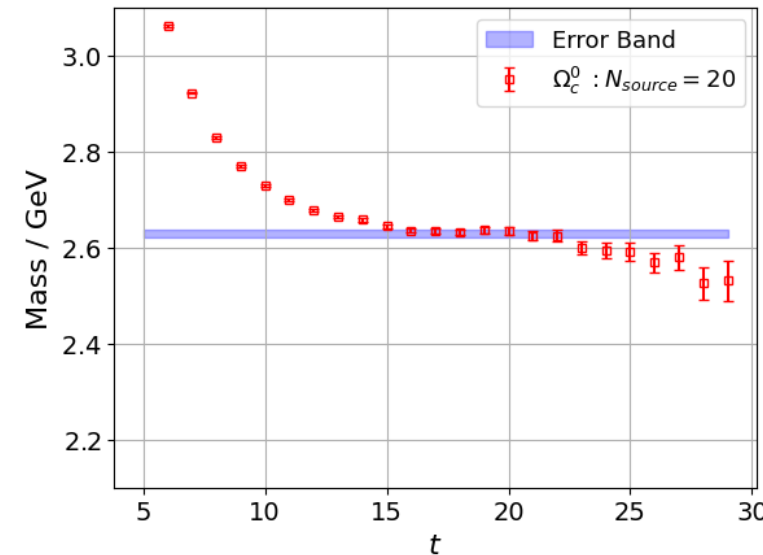


图31、 Ω_c^0 重子有效质量

C32P23
Ncfg=451
Nsrc=2×10

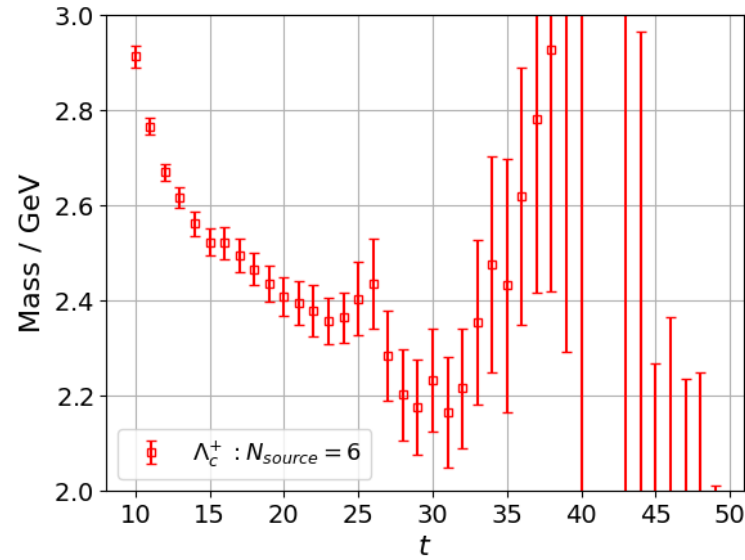


图32、 Λ_c^+ 重子有效质量

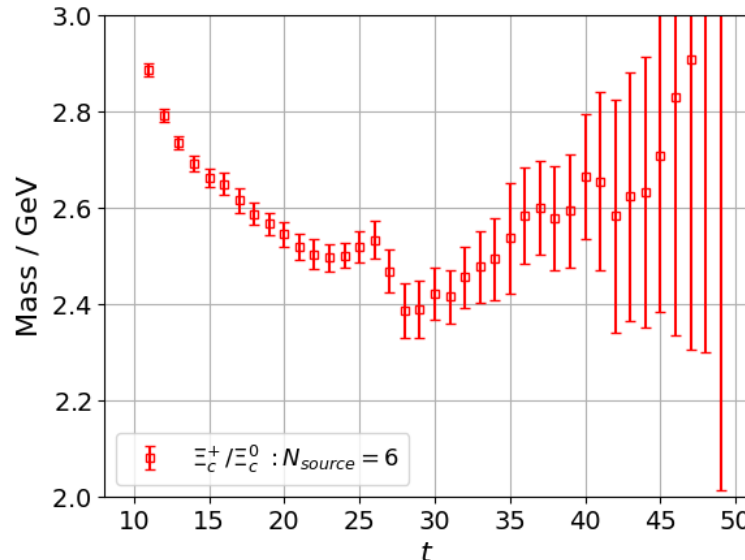


图33、 Ξ_c^+ / Ξ_c^0 重子有效质量

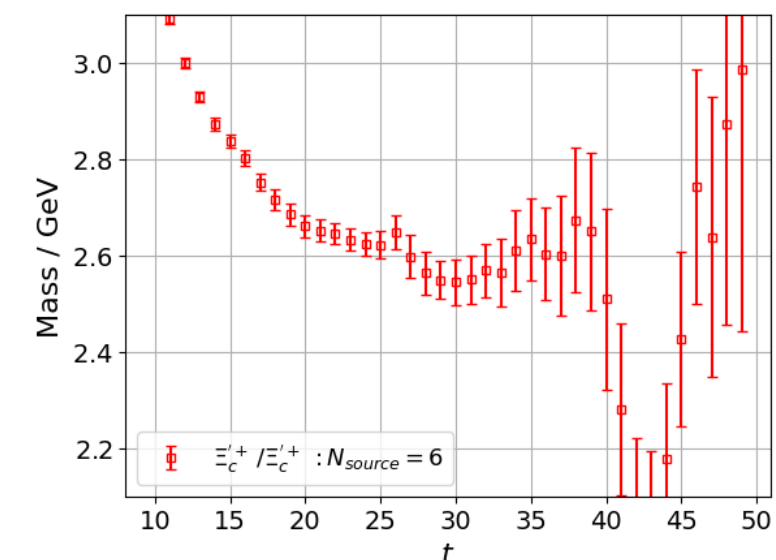


图34、 $\Xi_c'^+ / \Xi_c'^0$ 重子有效质量

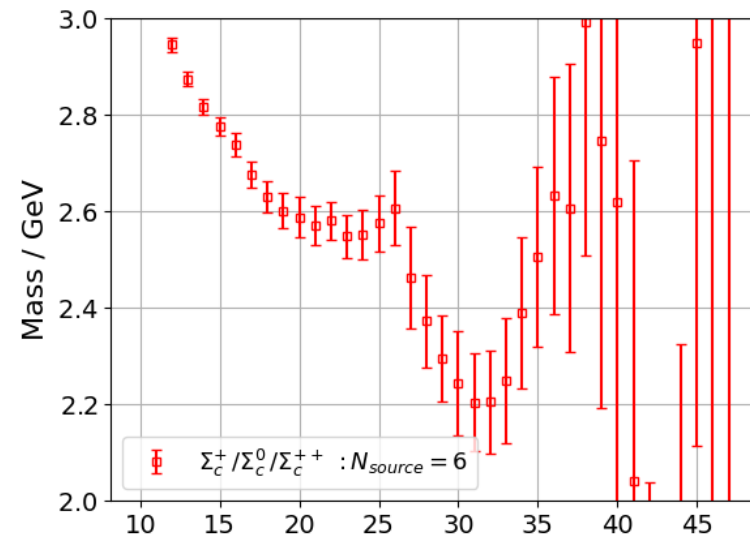


图35、 $\Sigma_c^+ / \Sigma_c^0 / \Sigma_c^{++}$ 重子有效质量

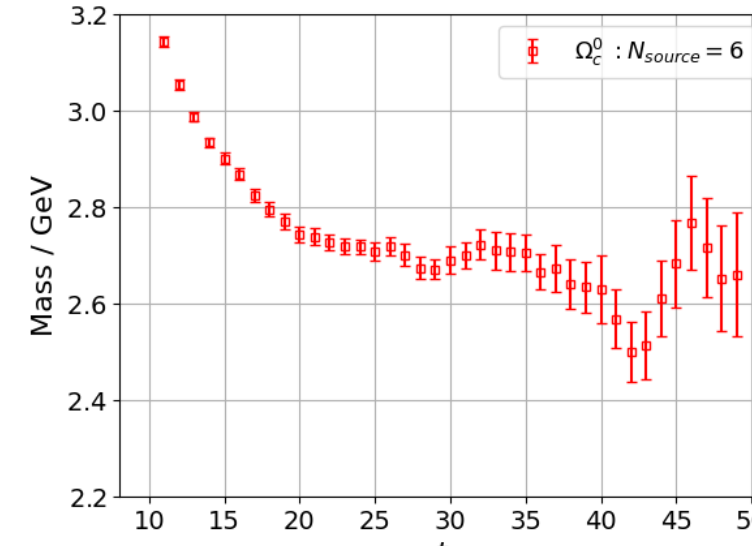


图36、 Ω_c^0 重子有效质量

H48P32
Ncfg=115
Nsrc=2×3

表3、裸的衰变常数汇总

	Decay constant (bare) (10^{-2}GeV^2)							
Baryon	C24P29	Chi2 / dof	C32P29	Chi2 / dof	F32P30	Chi2 / dof	H48P32	Chi2 / dof
$\Lambda_c^+(udc)$	1.718 (86)	0.84 [12]	1.690 (63)	0.63 [12]	2.023 (97)	0.32 [8]	2.13 (29)	0.31 [16]
$\Xi_c^+(usc)$	1.753 (64)	1 [12]	1.65 (11)	0.54 [7]	1.978 (60)	0.75 [11]	2.20 (20)	0.33 [15]
$\Xi_c^0(dsc)$	1.753 (64)	1 [12]	1.65 (11)	0.54 [7]	1.978 (60)	0.75 [11]	2.20 (20)	0.33 [15]
$\Xi_c'^+(usc)$	2.465 (57)	1 [16]	2.544 (48)	1 [22]	2.973 (65)	0.42 [11]	3.39 (22)	0.68 [16]
$\Xi_c'^0(dsc)$	2.465 (57)	1 [16]	2.544 (48)	1 [22]	2.973 (65)	0.42 [11]	3.39 (22)	0.68 [16]
$\Sigma_c^+(udc)$	2.16 (13)	1 [8]	2.252 (95)	0.98 [11]	2.68 (11)	0.41 [10]	3.24 (37)	0.46 [14]
$\Sigma_c^0(ddc)$	3.05 (18)	1 [8]	3.18 (13)	0.97 [11]	3.78 (16)	0.41 [10]	4.58 (53)	0.46 [14]
$\Sigma_c^{++}(uuc)$	3.05 (18)	1 [8]	3.18 (13)	0.97 [11]	3.78 (16)	0.41 [10]	4.58 (53)	0.46 [14]
$\Omega_c^0(ssc)$	3.901 (63)	1 [13]	3.896 (59)	0.97 [22]	4.514 (59)	1 [15]	5.31 (40)	0.25 [8]

C24P29: 2~6%

C32P29: 2~6%

F32P30: 1~5%

H48P32: 6~16%

C32P23: 3~7%

三、粲重子算符的重整化

格点中重子算符重整化的研究最早见于质子衰变[1-4]

$$\mathcal{O}_{RL} = \epsilon_{ijk} (\psi_1^{i^T} C P_R \psi_2^j) P_L \psi_3^k, \quad (14)$$

$$\mathcal{O}_{LL} = \epsilon_{ijk} (\psi_1^{i^T} C P_L \psi_2^j) P_L \psi_3^k,$$

裸的粲重子算符定义为：

$$O^{(0)} = \epsilon_{ijk} (q_i^{(0)T} C \Gamma_1 q_j^{(0)}) \Gamma_2 P_+ c_k^{(0)}, \quad (15)$$

粲重子算符重整化常数为：

$$O = Z_O O^{(0)} \quad (16)$$

- [1] S. Aoki et al. [JLQCD], Phys. Rev. D 62, 014506 (2000) [arXiv:hep-lat/9911026 [hep-lat]].
- [2] Y. Aoki, C. Dawson, J. Noaki and A. Soni, Phys. Rev. D 75, 014507 (2007) [arXiv:hep-lat/0607002 [hep-lat]].
- [3] Y. Aoki, T. Izubuchi, E. Shintani and A. Soni, Phys. Rev. D 96, no.1, 014506 (2017) [arXiv:1705.01338 [hep-lat]].
- [4] J. S. Yoo, Y. Aoki, P. Boyle, T. Izubuchi, A. Soni, and S. Syritsyn, Phys. Rev. D 105, 074501 (2022), arXiv:2111.01608 [hep-lat].

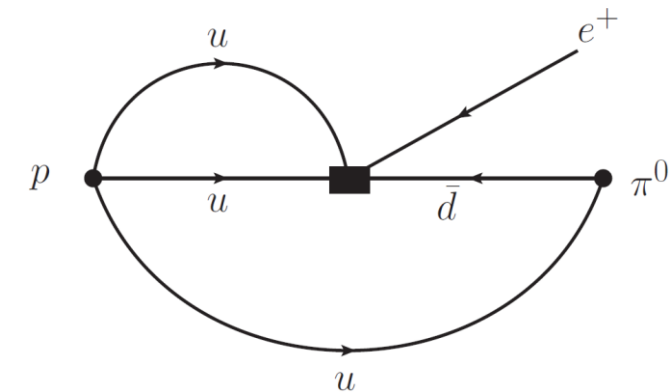


图37、质子衰变的三点关联函数

裸的粲重子算符定义为：

$$O^{(0)} = \epsilon_{ijk} (q_i^{(0)T} C \Gamma_1 q_j^{(0)}) \Gamma_2 P_+ c_k^{(0)}, \quad (17)$$

定义动量空间的四点格林函数：

$$G_{ef,cg}^{\alpha\beta\gamma}(x, y_1, y_2, y_3) = \langle O_c(x), \bar{u}_e^\alpha(y_1) \bar{d}_f^\beta(y_2) \bar{c}_g^\gamma(y_3) \rangle, \quad (18)$$

动量空间的格林函数：

$$\begin{aligned} G_{ef,cg}^{\alpha\beta\gamma}(p_1, p_2, p_3) &= - \sum_{y_1 y_2 y_3} \sum_x e^{-ik \cdot x} e^{i(p_1 \cdot y_1 + p_2 \cdot y_2 + p_3 \cdot y_3)} \\ &\times \epsilon_{\alpha' \beta' \gamma'} S_{ae}^{(u), \alpha' \alpha}(x, y_1) (C \gamma_5 S^{(d)})_{af}^{\beta' \beta}(x, y_2) (P_+ S^{(c)})_{cg}^{\gamma' \gamma}(x, y_3). \end{aligned} \quad (19)$$

构建截断格林函数：

$$\begin{aligned} \Lambda_{xy,cz}^{\alpha' \beta' \gamma'}(p_1, p_2, p_3) &= G_{ef,cg}^{\alpha\beta\gamma}(p_1, p_2, p_3) \\ &\times S_{ex}^{(u), \alpha \alpha' - 1}(p_1) S_{fy}^{(d), \beta \beta' - 1}(p_2) S_{gz}^{(c), \gamma \gamma' - 1}(p_3), \end{aligned} \quad (20)$$

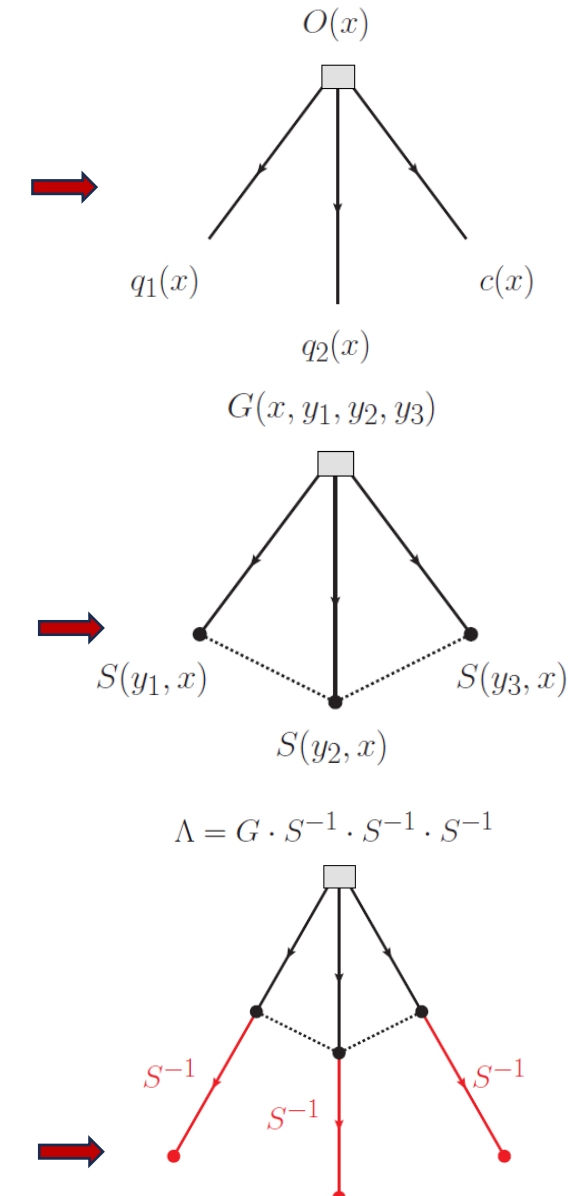


图38. 重整化流程
17

截断格林函数的投影矩阵定义为：

$$\begin{aligned} \text{赝标流: } P_{yx,zc}^{\mu\nu\rho} &= \frac{1}{48} \epsilon_{\mu\nu\rho} (\gamma_5 C^{-1})_{yx} (P_+)_{zc}, \\ \text{矢量流: } P_{yx,zc}^{\mu\nu\rho} &= \frac{1}{192} \epsilon_{\mu\nu\rho} (\gamma_\mu C^{-1})_{yx} (\gamma_5 \gamma_\mu P_+)_{zc}. \end{aligned} \quad (21)$$

SMOM的重整化条件为：

$$Z_O Z_l^{-3/2} \Gamma(p_1, p_2, p_3) \Big|_{p_1^2 = p_2^2 = p_3^2 = \mu^2} = 1. \quad (22)$$

动量满足：

$$p_1^2 = p_2^2 = p_3^2 = (p_1 + p_2 + p_3)^2 \quad (23)$$

测试结果： $Z_O \Big|_{p_1^2 = p_2^2 = p_3^2 = 9} = 0.615661$

程序实现：国产软件 **Pyquda**

未来 benchmark： **Chroma**

$$\Gamma = \Lambda \cdot P$$

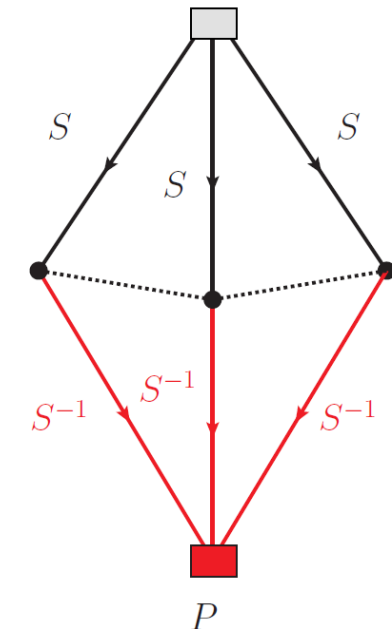


图39. 顶点函数 Γ

四、小结

- 构造粲重子算符
- 衰变常数计算精度大部分到达5%
- 粲重子算符的重整化测试

接下来：

- 计算不同pion介子质量的组态
- 做格距和手征极限外推
- 最终得到物理的衰变常数

谢谢

附录

粲重子内插流算符:

$$O_B^{(\Gamma)} = \epsilon_{ijk} (q_i^T C \Gamma q_j) \Gamma' q_k \quad (1)$$

其中, di-quark中的 Γ 矩阵为:

$$\begin{aligned} \Gamma &= \{ 1, \gamma_5, \gamma_\mu, \gamma_5 \gamma_\mu, \sigma_{\mu\nu} \} \\ &\Rightarrow \{ S, P, V, A, T \} \end{aligned} \quad (2)$$

表1、QCD sum rule 中的粲重子内插流算符

	$\Lambda_c^+(udc)$	文献
赝标	$O_{\Lambda_c^+}^{(P)} = \epsilon_{ijk} (u_i^T C \gamma_5 d_j) c_k$	【1,2】
标量	$O_{\Lambda_c^+}^{(S)} = \epsilon_{ijk} (u_i^T C d_j) \gamma_5 c_k$	【1,2】
轴矢	$O_{\Lambda_c^+}^{(A)} = \epsilon_{ijk} (u_i^T C \gamma_5 \gamma_\mu d_j) \gamma^\mu c_k$	【1,2】
	$\Omega_c^0(ssc)$	文献
矢量	$O_{\Omega_c^0}^{(V)} = \epsilon_{ijk} (s_i^T C \gamma_\mu s_j) \gamma^\mu \gamma_5 c_k$	【5】

	$\Xi_c(usc/dsc)$	文献
矢量	$O_{\Xi_c}^{(V)} = \epsilon_{ijk} (s_i^T C \gamma_\mu c_j) \gamma^\mu \gamma_5 q_k$	【3】
混合	$O_{\Xi_c} = 2\beta O_{\Xi_c}^{(S)} + 2\beta O_{\Xi_c}^{(P)} + \dots$	【4】
	$\Sigma_c^+(udc)$	文献
矢量	$O_{\Sigma_c^+}^{(V)} = \epsilon_{ijk} (u_i^T C \gamma_\mu d_j) \gamma^\mu \gamma_5 c_k$	【1】
张量	$O_{\Sigma_c^+}^{(T)} = \epsilon_{ijk} (u_i^T C \sigma_{\mu\nu} d_j) \sigma^{\mu\nu} \gamma_5 c_k$	【1】

根据P宇称和洛伦兹协变性，写下 $1/2^+$ 粲重子内插流算符：

$$\begin{aligned} O_{\mathcal{B}}^{(S)} &= \epsilon_{ijk}(q_i^T C q_j) \gamma_5 c_k \\ O_{\mathcal{B}}^{(P)} &= \epsilon_{ijk}(q_i^T C \gamma_5 q_j) c_k \\ O_{\mathcal{B}}^{(V)} &= \epsilon_{ijk}(q_i^T C \gamma_\mu q_j) \gamma^\mu \gamma_5 c_k \\ O_{\mathcal{B}}^{(A)} &= \epsilon_{ijk}(q_i^T C \gamma_5 \gamma_\mu q_j) \gamma^\mu c_k \\ O_{\mathcal{B}}^{(T)} &= \epsilon_{ijk}(q_i^T C \sigma_{\mu\nu} q_j) \sigma^{\mu\nu} \gamma_5 c_k \end{aligned} \quad (3)$$

考虑[ud]夸克构成的di-quark结构，根据同位旋 SU(2) 对称性 【1】：

$$\left. \begin{aligned} O_{\mathcal{B}}^{(P)} &= \frac{1}{2} [\epsilon_{ijk}(u_i^T C \gamma_5 d_j) c_k - \epsilon_{ijk}(d_i^T C \gamma_5 u_j) c_k] \\ O_{\mathcal{B}}^{(S)} &= \frac{1}{2} [\epsilon_{ijk}(u_i^T C d_j) \gamma_5 c_k - \epsilon_{ijk}(d_i^T C u_j) \gamma_5 c_k] \\ O_{\mathcal{B}}^{(A)} &= \frac{1}{2} [\epsilon_{ijk}(u_i^T C \gamma_5 \gamma^\mu d_j) \gamma_\mu c_k - \epsilon_{ijk}(d_i^T C \gamma_5 \gamma^\mu u_j) \gamma_\mu c_k] \\ O_{\mathcal{B}}^{(V)} &= \frac{1}{2} [\epsilon_{ijk}(u_i^T C \gamma_\mu d_j) \gamma^\mu \gamma_5 c_k + \epsilon_{ijk}(d_i^T C \gamma_\mu u_j) \gamma^\mu \gamma_5 c_k] \\ O_{\mathcal{B}}^{(T)} &= \frac{1}{2} [\epsilon_{ijk}(u_i^T C \sigma_{\mu\nu} d_j) \sigma^{\mu\nu} \gamma_5 c_k + \epsilon_{ijk}(d_i^T C \sigma_{\mu\nu} u_j) \sigma^{\mu\nu} \gamma_5 c_k] \end{aligned} \right\} \begin{array}{l} \Lambda_c \\ \Sigma_c \end{array} \quad (4)$$

单态：
(反对称) 三重态：
(对称)

根据 SU(3) 对称性 $3 \otimes 3 = \bar{3} \oplus 6$ ：

$$\bar{3} : \begin{cases} O_{\Lambda_c^+} = \epsilon_{ijk}(u_i^T C \gamma_5 d_j) c_k \\ O_{\Xi_c^+} = \epsilon_{ijk}(u_i^T C \gamma_5 s_j) c_k \\ O_{\Xi_c^0} = \epsilon_{ijk}(d_i^T C \gamma_5 s_j) c_k \end{cases} \quad (5)$$

$$6 : \begin{cases} O_{\Xi_c'^+} = \epsilon_{ijk}(u_i^T C \gamma_\mu s_j) \gamma^\mu \gamma_5 c_k \\ O_{\Xi_c'^0} = \epsilon_{ijk}(d_i^T C \gamma_\mu s_j) \gamma^\mu \gamma_5 c_k \\ O_{\Sigma_c^0} = \epsilon_{ijk}(d_i^T C \gamma_\mu d_j) \gamma^\mu \gamma_5 c_k \\ O_{\Sigma_c^+} = \epsilon_{ijk}(u_i^T C \gamma_\mu d_j) \gamma^\mu \gamma_5 c_k \\ O_{\Sigma_c^{++}} = \epsilon_{ijk}(u_i^T C \gamma_\mu u_j) \gamma^\mu \gamma_5 c_k \\ O_{\Omega_c^0} = \epsilon_{ijk}(s_i^T C \gamma_\mu s_j) \gamma^\mu \gamma_5 c_k \end{cases} \quad (6)$$

给出常用的粲重子算符

- 【1】 A. Khodjamirian, C.Klein, T.Mannel and Y.M.Wang, ``Form Factors and Strong Couplings of Heavy Baryons from QCD Light-Cone Sum Rules," JHEP 09, 106 (2011) doi:10.1007/JHEP09(2011)106 [arXiv:1108.2971 [hep-ph]].
- 【2】 Y. Miao, H. Deng, K. S. Huang, J. Gao and Y. L. Shen, `` $\Lambda_b \rightarrow \Lambda_c$ form factors from QCD light-cone sum rules," Chin. Phys. C 46, no.11, 113107 (2022) doi:10.1088/1674-1137/ac8652 [arXiv:2206.12189 [hep-ph]].
- 【3】 H.H.Duan, Y.L.Liu and M.Q.Huang, ``Semileptonic decay of $\Xi_c \rightarrow \Xi^- \ell^+ \nu_\ell$ from light-cone QCD sum rules," Phys. Rev. D 106, no.9, 096011 (2022) doi:10.1103/PhysRevD.106.096011 [arXiv:2201.03802 [hep-ph]].
- 【4】 T.M.Aliev, S. Bilmis and M.Savci, ``Semileptonic Ξ_c baryon decays in the light cone QCD sum rules," Phys. Rev. D 104, no.5, 054030 (2021) doi:10.1103/PhysRevD.104.054030 [arXiv:2108.01378 [hep-ph]].
- 【5】 H. H. Duan, Y. L. Liu and M.~Q. ~Huang, ``Semileptonic decay of $\Omega_c^0 \rightarrow \Xi_c^- \ell^+ \nu_\ell$ from light-cone sum rules," Eur. Phys. J. C 81, no.2, 168 (2021) doi:10.1140/epjc/s10052-021-08956-6 [arXiv:2010.16176 [hep-ph]].

测试投影算符 P_+ 对2pt的影响

Meinel: 1409.0497 粒重子谱, 带 P_+
 2309.08107 $\Xi_c \rightarrow \Xi_c \ell \nu$, 不带 P_+

Λ_c 内插流算符: $O_{\Lambda_c} = \epsilon_{ijk}(u_i^T C \gamma_5 d_j) c_k$ (7)

$$O_{\Lambda_c}^{P+} = \epsilon_{ijk}(u_i^T C \gamma_5 d_j) P_+ c_k$$

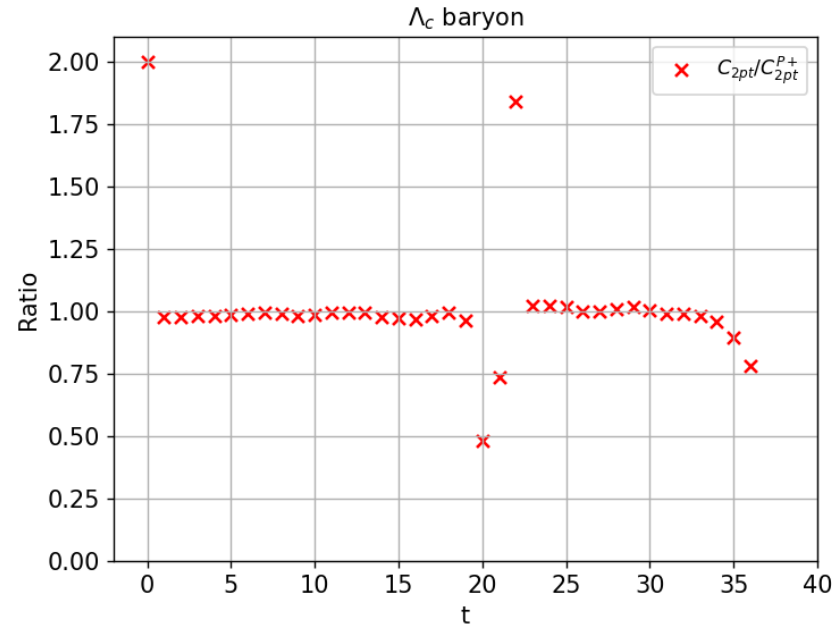


图1、第10000号组态比值 C_{2pt}/C_{2pt}^{P+}

重子	组态	Source	N_conf	$L^3 \times T$
Λ_c^+	C24P29	Wall	10000	$24^3 \times 72$

10000	0	0	3.18794e+05	-8270.03315	10000	1	0	6.37392e+05	-1.58875e+04
10000	0	1	8.54447e+04	-6884.05809	10000	1	1	8.33204e+04	-6558.06473
10000	0	2	2.58299e+04	-2000.06164	10000	1	2	2.52279e+04	-1904.83656
10000	0	3	7550.81071	-268.93099	10000	1	3	7400.42151	-258.15850
10000	0	4	2217.98503	-19.91093	10000	1	4	2178.60689	-23.29129
10000	0	5	707.30537	35.80540	10000	1	5	697.76083	31.93488
10000	0	6	228.92450	19.20698	10000	1	6	226.78921	17.97826
10000	0	7	66.67460	-1.00642	10000	1	7	66.33036	-1.08922
10000	0	8	17.98828	-2.64714	10000	1	8	17.84232	-2.69967
10000	0	9	4.88886	-1.32012	10000	1	9	4.80980	-1.34682
10000	0	10	1.30097	-0.44879	10000	1	10	1.28326	-0.46274
10000	0	11	0.31359	-0.13822	10000	1	11	0.31191	-0.14617
10000	0	12	0.07606	-0.04675	10000	1	12	0.07579	-0.04851
10000	0	13	0.02573	-0.01866	10000	1	13	0.02560	-0.01921
10000	0	14	0.01169	-0.00891	10000	1	14	0.01142	-0.00905
10000	0	15	0.00363	-0.00410	10000	1	15	0.00353	-0.00412
10000	0	16	0.00103	-0.00144	10000	1	16	9.99298e-04	-0.00144
10000	0	17	3.30608e-04	-4.19329e-04	10000	1	17	3.24858e-04	-4.21833e-04
10000	0	18	8.34951e-05	-1.30992e-04	10000	1	18	8.29435e-05	-1.35590e-04
10000	0	19	1.79941e-05	5.26028e-05	10000	1	19	1.73715e-05	5.45837e-05
10000	0	20	1.66272e-06	-2.75526e-05	10000	1	20	7.97996e-07	-2.84549e-05

O_{Λ_c} 算符2pt

$O_{\Lambda_c}^{P+}$ 算符2pt

【6】 Z.S. Brown, W.Detmold, S. Meinel and K.Orginos, ``Charmed bottom baryon spectroscopy from lattice QCD," Phys. Rev. D 90, no.9, 094507 (2014)
 doi:10.1103/PhysRevD.90.094507 [arXiv:1409.0497 [hep-lat]].

【7】 C.Farrell and S.Meinel, ``Form factors for the charm-baryon semileptonic decay $\Xi_c \rightarrow \Xi_c \ell \nu$ from domain-wall lattice QCD," PoS LATTICE2023,
 210 (2024) doi:10.22323/1.453.0210 [arXiv:2309.08107 [hep-lat]].

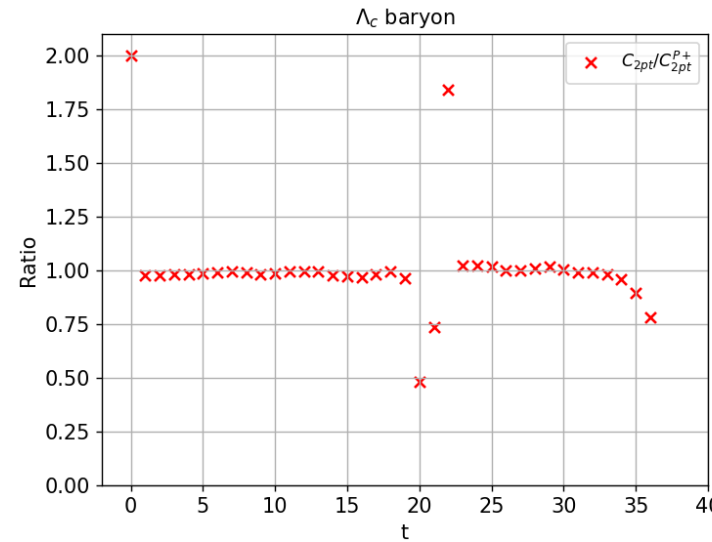


图2、第10000号组态2pt比值

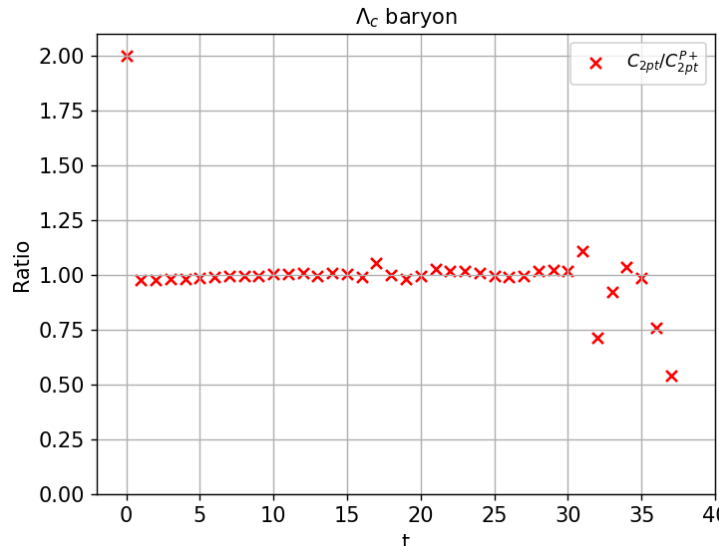


图3、第10100号组态2pt比值

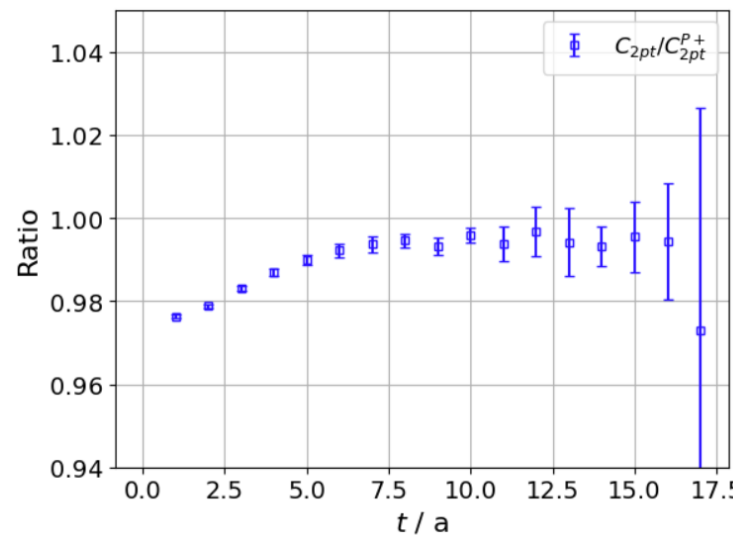


图4、 C_{2pt}/C_{2pt}^{P+} (20个组态)

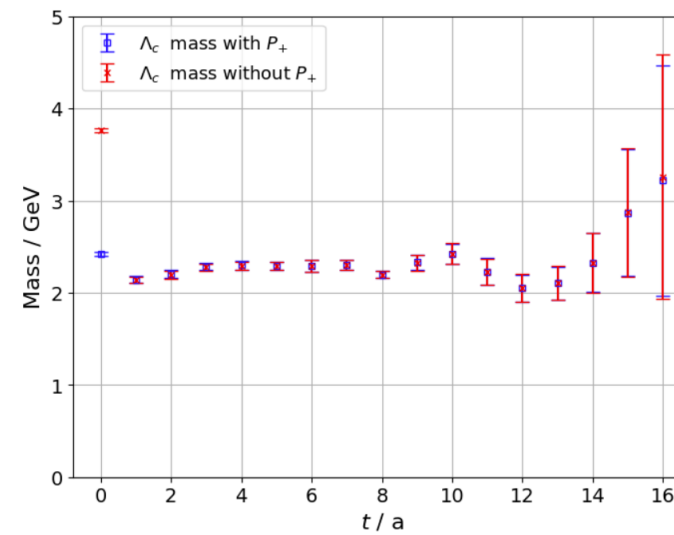


图5、两种不同算符的有效质量平台

**P_+ 在t小的时候对C2pt数值存在影响；
t越大激发态贡献越小，
趋近于基态；
对有效质量的影响很小。**

表2、C32P29拟合结果

C32P29	Mass (GeV)		Decay constant (bare) (10^{-2}GeV^2)	Chi2 / dof [dof]
Baryon	This work	PDG	This work (bare)	This work
$\Lambda_c^+(udc)$	2.311 (12)	2.286	1.690 (63)	0.63 [12]
$\Xi_c^+(usc)$	2.430 (14)	2.467	1.65 (11)	0.54 [7]
$\Xi_c^0(dsc)$	2.430 (14)	2.470	1.65 (11)	0.54 [7]
$\Xi_c'^+(usc)$	2.5497 (54)	2.578	2.544 (48)	1 [22]
$\Xi_c'^0(dsc)$	2.5497 (54)	2.579	2.544 (48)	1 [22]
$\Sigma_c^+(udc)$	2.448 (12)	2.453	2.252 (95)	0.98 [11]
$\Sigma_c^0(ddc)$	2.448 (12)	2.454	3.18 (13)	0.97 [11]
$\Sigma_c^{++}(uuc)$	2.448 (12)	2.454	3.18 (13)	0.97 [11]
$\Omega_c^0(ssc)$	2.6351 (36)	2.695	3.896 (59)	0.97 [22]

表3、H48P32拟合结果

H48P32	Mass (GeV)		Decay constant (bare) (10^{-2}GeV2)	Chi2 / dof [dof]
	Baryon	This work	PDG	This work (bare)
$\Lambda_c^+(udc)$	2.357 (51)	2.286	2.13 (29)	0.31 [16]
$\Xi_c^+(usc)$	2.483 (31)	2.467	2.20 (20)	0.33 [15]
$\Xi_c^0(dsc)$	2.483 (31)	2.470	2.20 (20)	0.33 [15]
$\Xi_c'^+(usc)$	2.619 (25)	2.578	3.39 (22)	0.68 [16]
$\Xi_c'^0(dsc)$	2.619 (25)	2.579	3.39 (22)	0.68 [16]
$\Sigma_c^+(udc)$	2.552 (47)	2.453	3.24 (37)	0.46 [14]
$\Sigma_c^0(ddc)$	2.552 (47)	2.454	4.58 (53)	0.46 [14]
$\Sigma_c^{++}(uuc)$	2.552 (47)	2.454	4.58 (53)	0.46 [14]
$\Omega_c^0(ssc)$	2.705 (24)	2.695	5.31 (40)	0.25 [8]

表4、F32P30拟合结果

F32P30	Mass (GeV)		Decay constant (bare) (10^{-2}GeV2)	Chi2 / dof [dof]
Baryon	This work	PDG	This work (bare)	This work
$\Lambda_c^+(udc)$	2.360 (17)	2.286	2023 (97)	0.32 [8]
$\Xi_c^+(usc)$	2.4692 (94)	2.467	1.978 (60)	0.75 [11]
$\Xi_c^0(dsc)$	2.4692 (94)	2.470	1.978 (60)	0.75 [11]
$\Xi_c'^+(usc)$	2.5923 (69)	2.578	2.973 (65)	0.42 [11]
$\Xi_c'^0(dsc)$	2.5923 (69)	2.579	2.973 (65)	0.42 [11]
$\Sigma_c^+(udc)$	2.499 (14)	2.453	2.68 (11)	0.41 [10]
$\Sigma_c^0(ddc)$	2.499 (14)	2.454	3.78 (16)	0.41 [10]
$\Sigma_c^{++}(uuc)$	2.499 (14)	2.454	3.78 (16)	0.41 [10]
$\Omega_c^0(ssc)$	2.6711 (39)	2.695	4.514 (59)	1 [15]

表5、C32P23拟合结果

C32P23	Mass (GeV)		Decay constant (bare) (10^{-2}GeV^2)	Chi2 / dof [dof]
Baryon	This work	PDG	This work (bare)	This work
$\Lambda_c^+(udc)$	2.286 (20)	2.286	1.710 (96)	0.21 [9]
$\Xi_c^+(usc)$	2.421 (12)	2.467	1.662 (76)	0.34 [11]
$\Xi_c^0(dsc)$	2.421 (12)	2.470	1.662 (76)	0.34 [11]
$\Xi_c'^+(usc)$	2.5431 (86)	2.578	2.534 (74)	0.36 [8]
$\Xi_c'^0(dsc)$	2.5431 (86)	2.579	2.534 (74)	0.36 [8]
$\Sigma_c^+(udc)$	2.426 (21)	2.453	2.17 (15)	0.45 [9]
$\Sigma_c^0(ddc)$	2.426 (21)	2.454	3.07 (22)	0.45 [9]
$\Sigma_c^{++}(uuc)$	2.426 (21)	2.454	3.07 (22)	0.45 [9]
$\Omega_c^0(ssc)$	2.6290 (79)	2.695	3.79 (14)	1 [9]